

# アスファルト舗装におけるクリンカッシュの復元・永久変形挙動

## Resilient / Permanent Deformation of Clinker Ash in Asphalt Pavement

○村上由貴<sup>1</sup>, 小田喜隆二<sup>2</sup>, 竹内康<sup>3</sup>, 岡澤宏<sup>3</sup>

Y. Murakami, R. Odaki, Y. Takeuchi and H. Okazawa

**1.はじめに** 石炭火力発電所から排出される石炭灰の有効利用が課題となっている。石炭灰には、ボイラ底部から回収されるクリンカッシュと集塵機で回収されるフライアッシュがある。筆者らは、重錐落下式の舗装非破壊試験機（Falling Weight Deflectometer, FWD）による調査を実施し、福島県川内村の「県営ふるさと農道緊急整備事業」において路床置換材あるいは凍上抑制材として用いられたクリンカッシュの支持力評価を行った。その結果、当該事業区間のクリンカッシュ置換層は設計値を上回る支持力を有してはいるものの、室内試験結果から想定される支持力には達しておらず、施工時に十分な締固め効果が得られなかつたものと考えられた。

本研究では、川内村で使用したものと同等（同一石炭火力発電所）のクリンカッシュを用い、繰返し三軸圧縮試験により締固め度が異なった場合の復元・永久変形特性を把握するとともに、FWD 試験解析結果との整合性および長期供用性について検討したので報告する。

**2. FWD 試験結果概要** FWD 試験による支持力調査は、農道緊急整備事業実施地区である福島県川内村下川内地区において、2007 年 8 月 21 日～22 日にかけて実施した。そして、測定データから多層弾性理論に基づく逆解析プログラム BALM for Windows を用いて表層～路床の弹性

係数を求めた。

当該区間の舗装構造は表-1 に示すとおりであり、逆解析にあたっては同じクリンカッシュを用いた凍上抑制層と置換層は同一層として扱った。解析結果は図-1 に示すとおりで、凡例 E1～E4 は表層～路床の弾性係数を示している。図-1において、クリンカッシュ層(E3)と路床(E4)の弾性係数には大きな差は認められない。これは、施工時にクリンカッシュが路床に食い込んでしまい、設計厚よりも大きくなつたためだと考えられる。これについては、今後の調査が必要になると考えられる。

**3. 繰返し三軸圧縮試験結果** 繰返し三軸圧縮試験は、舗装調査・試験法便覧 E016 に準拠し、表-2 に示す性状のクリンカッシュを用いて締固め度  $D_c=85\sim100\%$  の供試体を作製し、 $\sigma_l=98kPa$ ,  $\sigma_3=40, 60, 80kPa$  の条件で、繰返し載荷回数が 20000 回になるまで行った。なお、繰返し載荷に伴い供試体には塑性ひずみが累積されるが、軸差応力  $\sigma_d$  と除荷後の復元ひずみから復元弾性係数  $M_R$  を求めることができる。また、載荷回数  $N$  の増加に伴う累積塑性ひずみ  $\varepsilon^p$  は(1)式によって近似することができるが、竹内ら (2001) は、 $N=1$  のときの塑性ひずみ  $I$  と

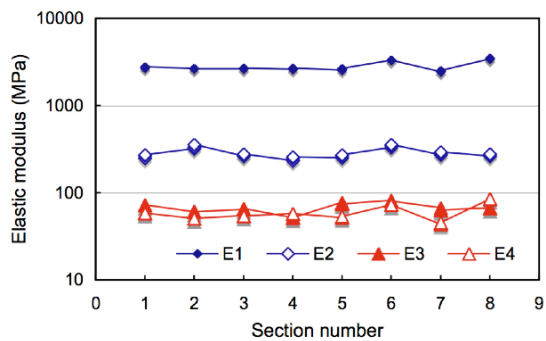


図-1 FWD 調査区間の弾性係数

1 福島県 Fukushima Prefecture, 2 中日本高速道路(株) Central Nippon Expressway Co.,Ltd

3 東京農業大学 Tokyo University of Agriculture

Key Words: アスファルト舗装, クリンカッシュ, 構築路床, 繰返し三軸圧縮試験, FWD 試験

表-2 クリンカアッシュの基本特性

試験項目	試験値	試験項目	試験値
土粒子密度	2.14g/cm <sup>3</sup>	自然含水比	—
均等係数	16.0	最適含水比	34.2%
曲率係数	0.56	最大乾燥密度	1.219g/cm <sup>3</sup>
最大粒径	9.5mm	室内 CBR	66.8%

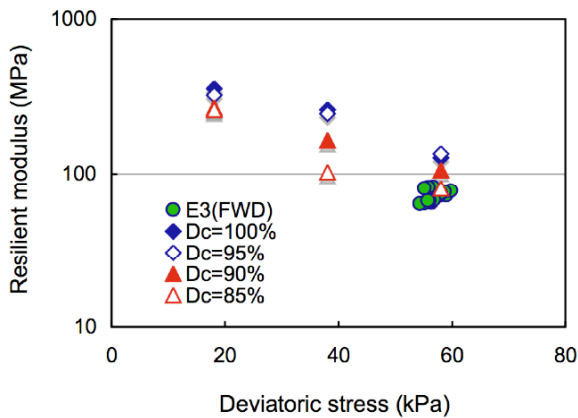


図-2  $D_C$  の変化に伴う  $\sigma_d$  と  $M_R$  の関係

塑性ひずみ増分  $S$  は、供試体の拘束状態や弾性係数によって変化することから、(2)式に示す偏差ひずみエネルギーによってこれらパラメータの変化を説明できることを示した。そのため、本研究でもこれに従い、 $I$  と  $S$  の変化を偏差ひずみエネルギーによって把握することとした。

$$\varepsilon^p = I \cdot N^S \quad \dots \dots \dots (1)$$

$$E_{dev} = \frac{1+\nu}{M_R} J_2 \quad \dots \dots \dots (2)$$

ここに、 $\nu$  はポアソン比、 $J_2$  は偏差応力の第2不変量である。

図-2 に  $D_C$  の変化に伴う  $\sigma_d$  と  $M_R$  の関係を示す。また、同図には図-1 に示したクリンカッシュの層弾性係数  $E3$  と  $\sigma_d$  の関係をプロットした。なお、 $E3$  と  $\sigma_d$  の関係は、多層弾性理論による順解析プログラム GAMES を用い、FWD 載荷 (49kN) にともなうクリンカッシュ層の応力解析結果より求めた。その結果、 $D_C$  に伴い  $M_R$  も小さくなる傾向にあることがわかる。また、FWD 試験により求めたクリンカッシュの層弾性係数は  $D_C=85\sim90\%$  の値と概ね一致することがわかる。このことより、川内村でのクリンカッシュ置換層は十分な支持力を有してはいるものの、目標値である  $D_C=90\%$  を僅かに下回っていることがわかった。

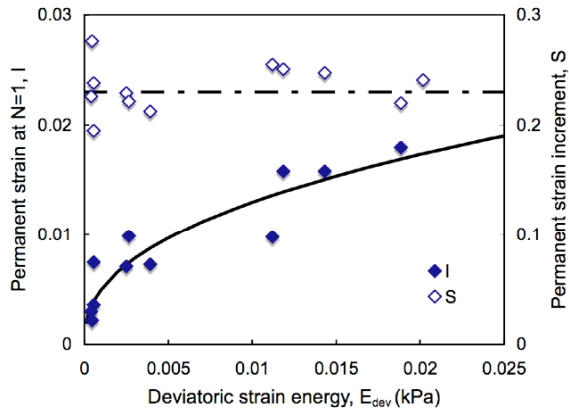


図-3  $E_{dev}$  と  $I$ ,  $S$  の関係

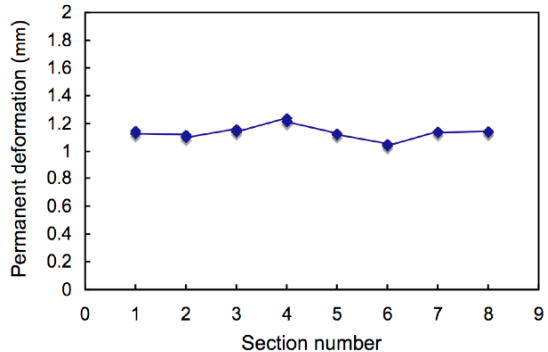


図-4 各工区の永久変形量予測値

次に  $E_{dev}$  と  $I$  および  $S$  の関係を図-3 に示す。これらの結果より、 $E_{dev}$  と  $I$  は(3)式により近似できることがわかった。また  $S$  は  $E_{dev}$  によらずほぼ一定値 (0.23) を示すことがわかった。

$$I = 0.089 \cdot E_{dev}^{0.4184} \quad \dots \dots \dots (3)$$

また、図-1 および図-3 の結果を用い、多層弾性解析結果よりクリンカッシュ置換層の永久変形解析を行った。このときの繰返し載荷回数は、II 交通の疲労破壊輪数にあわせ、 $N=30000$  回とした。その結果、図-4 に示すようにクリンカッシュ置換層の永久変形量は 1.0~1.4mm 程度であり、締固め度の不足が舗装の長期供用性に大きな影響を与えないことがわかった。

**4.まとめ** 以上の結果より、クリンカッシュは良質な路床置換材料として使用でき、長期供用性についても問題は無いものと考えられる。これについては、今後も同地区の供用性をモニタリングし、検証する必要があると考えられる。

**参考文献** 竹内 他(2001)：コンクリート舗装における路盤面の残留変形解析に関する研究、土木学会舗装工学論文集、Vol6, pp.161-172.